

## دراسة الاستجابة الزلزالية للمبني البيتوبي المسلح خارجياً باستخدام إطار بيتوبي الصنعت مسلح بصفحة فولادية

ماري جورج جبلي<sup>1\*</sup> ريم سلمان الصحاوي<sup>2</sup>

<sup>1\*</sup>. طالبة ماجستير، مهندسة، قسم الهندسة الإنشائية الزلزالية، المعهد العالي للبحوث والدراسات الزلزالية، جامعة دمشق. [Mary.jabaly1996@damascusuniversity.edu.sy](mailto:Mary.jabaly1996@damascusuniversity.edu.sy)

<sup>2</sup>. دكتورة، مهندسة، مدرسة، قسم الهندسة الإنشائية الزلزالية، المعهد العالي للبحوث والدراسات الزلزالية، جامعة دمشق. [Reem1.salman@damascusuniversity.edu.sy](mailto:Reem1.salman@damascusuniversity.edu.sy)

### الملخص:

تعتبر معظم المبني التي تم إنشاؤها قبل اعتماد الكود العربي السوري عام 1995 والملحق (2) عام 2005 منشآت هيكيلية غير مقاومة للأحمال الزلزالية، ولا يزال هناك عدد كبير من هذه المبني القائمة قيد الاستخدام، مع مستويات متفاوتة من أوجه القصور الزلزالي. لذلك تم في هذا البحث طرح أهمية تحسين الأداء الزلزالي للمبني الإطارية من خلال استخدام إحدى طرائق التدعيم ورفع الكفاءة عن طريق زيادة مقاومة المبني القائم باستخدام إطار بيتوبي مسبقة الصنعت مسلح بصفحة فولادية.تناول البحث دراسة السلوك الزلزالي لمبني إطاري ABAQUS. في البداية تم تحقيق متوسط الإرتفاع مؤلف من 10 طوابق باستخدام برنامج ABAQUS. في البداية تم تحليل السلوك لإطار التدعيم البيتوبي مسبق الصنعت مسلح بصفحة فولادية PBSPC مع شبكة تربط بشكل 7 مقلوبة، من خلال إنشاء نموذج تحليلي باستخدام برنامج العناصر المحدودة ABAQUS حيث تم تطبيق بروتوكول التحميل، ومن ثم إضافة إطار التدعيم على الإطار الخارجي للبناء بتوضيعات مختلفة في فتحات الإطار (عند الفتحات الطرفية فقط - عند الفتحات الطرفية الوسطية - بشكل هرمي - بشكل متدرج). تم تقييم كفاءة التدعيم من خلال تطبيق عدة هزات أرضية على إطار المبني ومقارنة الاستجابة الزلزالية من خلال مقارنة قيم الدور والتسارعات أعلى الإطار والإزاحات الطابقية وقوى القص القاعدي قبل وبعد التدعيم. أظهرت النتائج سلوك متقارب في الحلقات الهستيرية بين النموذج والتجربة المخبرية، كما بينت أن آلية التدعيم الخارجي باستخدام إطار بيتوبي مسبق الصنعت ذات كفاءة عالية في تحسين السلوك الزلزالي للمبني بجميع التوضيعات، حيث تبين أن التدعيم بشكل هرمي أعطى نتائج جيدة مقارنة بتوضيعات الأخرى، حيث انخفض الانتحال الجانبي أعلى الإطار بنسبة 58.8%， أما بالنسبة للإزاحات الجانبية أعطت طريقة التدعيم بشكل هرمي أكبر قيم للفرق النسبي وفي جميع الطوابق، بنسبة تتراوح بين 65.69% في الطابق الخامس و 83.11% في الطابق الرابع، بينما انخفض الدور بنسبة 67.91%， وزداد التسارع أعلى الإطار بنسبة 8.03%， كما ازدادت قوى القص القاعدي بنسبة 194.25%.

**الكلمات المفتاحية:** رفع الكفاءة الزلزالية، إطار بيتوبي مسبق الصنعت، مبني متوازنة، الإرتفاع، توضيعات إطار التدعيم، استجابة زلزالية.

تاريخ الإيداع: 2024/10/29

تاريخ القبول: 2025/2/9



حقوق النشر: جامعة دمشق -

سورية، يحترم المؤلفون حقوق

النشر بموجب CC BY-NC-SA

# Study the seismic response of Reinforced Concrete Buildings Retrofitted with a Precast Concrete Frame Reinforced with a Steel Plate

Received: 29/10/2024

Accepted: 9/2/2025



**Copyright:** Damascus University- Syria, The authors retain the copyright under a CC BY- NC-SA

**Mary George JABALY<sup>\*1</sup> Reem SulmanALSEHNAWI<sup>2</sup>**

<sup>\*1</sup>. Master Student in Department of Seismic Structural Engineering, Higher Institute of Earthquake Studies & Research, University of Damascus, Damascus, Syria. [Mary.jabaly1996@damascusuniversity.edu.sy](mailto:Mary.jabaly1996@damascusuniversity.edu.sy)

<sup>2</sup>. Assistant Professor in Department of Seismic Structural Engineering, Higher Institute of Earthquake Studies & Research, University of Damascus, Syria. [Reem1.salman@damascusuniversity.edu.sy](mailto:Reem1.salman@damascusuniversity.edu.sy)

## Abstract:

Most of the buildings that have been built prior to the adoption of the Syrian Arab Code in 1995 and its Annex (2) in 2005 are structurally inadequate to withstand seismic loads. Many of these buildings are still in use with varying levels of seismic deficiencies. This research highlights the importance of improving the seismic performance of frame buildings by using one of the retrofit methods to increase efficiency by increasing the resistance of existing buildings by using precast concrete frames reinforced with steel plate. The research investigates the seismic behavior of a 10-story mid-rise frame building using ABAQUS software. Firstly, the behavior of the precast concrete frame PBSPC, armed with inverted V-shaped, reinforced with steel plates, was obtained by creating an analytical model using the finite element software ABAQUS. A load protocol (displacement control) was applied. The efficiency of the retrofit was evaluated by applying several earthquakes to the building frame and comparing the seismic response by comparing the period, accelerations, floor displacements, and base shear forces before and after the retrofit. The results between the model and the laboratory experiment showed similar hysteresis loops. The results also indicated that the external retrofit mechanism using a precast concrete frame is highly efficient in improving the seismic behavior of the building in all placements. It was observed that the best results were obtained with the pyramidal method compared to other methods, where the lateral displacement at the top of the frame decreased by 58.8%, the acceleration at the top of the frame increased by 8.03%, and the base shear forces increased by 194.25%, while the period decreased by 67.91%. Regarding max story drifts, the pyramidal method provided the highest values of relative differences across all stories, ranging between 65.69% on the fifth story and 83.11% on the fourth story.

**Keywords:** Seismic performance enhancement, precast concrete frame, mid-rise buildings, retrofitting frame placements, seismic response

ضرر فيما عدا بعض الشقوق الصغيرة وتبين أنها سليمة انشائياً. (Takeda et al. 2013)

أما (Nour Eldin et al.) فقد قاموا بدراسة تجريبية عام 2019 أجروا فيها اختبار التحميل الدوري لإطار بيتوني مسلح قبل و بعد تدعيمه باستخدام إطار خارجي (Self-Centering – Precast Concrete) SC-PC واحد ومجاز واحد حيث تم استخدام كابل مسبق الشد. تم ملاحظة أن الصلابة الأولية للإطار تزداد بشكل ملحوظ بعد التدعيم، وأن المقاومة الإجمالية للإطار المدعم أكبر بحوالى 40% منها للإطار غير المدعم. (NourEldin, 2019) وفي دراسة أخرى قام (Nour Eldin et al.) في عام 2019 بدراسة تجريبية وتحليلية باستخدام برنامج SAP2000، أجروا فيها اختبار التحميل الدوري لإطار بيتوني مسلح قبل و بعد تدعيمه باستخدام إطار خارجي SC-PC وبإضافة محمد احتكاكى عند زوايا الإطار مسبق الصنع، كما تم استخدام كابلين مسبقي الشد. تبين بالنتيجة أن الصلابة الأولية للإطار تزداد بشكل ملحوظ بعد التدعيم، وأن المقاومة الإجمالية للإطار المدعم أكبر بحوالى 40% منها للإطار غير المدعم. كما أن علاقة (الإجهاد - ت Shaw) للكابل مسبق الشد PT بقيت ضمن المجال المرن. (NourEldin, 2019)

بينما قام (Cao et al.) عام 2019 بدراسة تجريبية لثلاث إطارات، إطار من البeton المسلح (RCF) وإطار- (RCF-IV) هو عبارة عن إطار RCF مضاد إليه إطار التدعيم PBSPC مع شبكة التربيط بشكل V، والإطار الثالث (RCF-IV) هو عبارة عن إطار RCF مضاد إليه إطار PBSPC مع شبكة التربيط بشكل V مقلوبة. وفقاً للتجربة بلغ الحمل الأعظمي للإطار المدعم ما يقارب 3.6 مرة من الحمل في حالة عدم التدعيم في كلا الاتجاهين حيث لم يكن هناك اختلافات واضحة بين الإطار RCF-V و RCF-VI .

## المقدمة:

أدى تطور المعارف والتكنيات المتعلقة بمقاومة الزلازل ورفع كفاءة المبني الإطارية من البيتون المسلح، للوصول إلى كودات أكثر دقة، ومتطلبات إنشائية أكثر دقة توخذ بعين الاعتبار أثناء التصميم الزلزالي. وبالرغم من ذلك لا يزال هناك عدد كبير من المبني القديمة القائمة قيد الاستخدام، مع مستويات متقاوقة من أوجه القصور الزلزالي، مما يشكل خطراً على سلامة الأفراد أثناء حدوث الهزات الأرضية. حيث كان لزلزال 6 شباط 2023 أثر كبير ومدمر على مثل هذه المبني في سوريا وتركيا، فضلاً عما أحدثه من انهيارات جزئية أو كلية للمبني، وهذا ما أدى إلى خسائر بشرية ومادية كبيرة. لذلك تم طرح أهمية تحسين الأداء الزلزالي لهذه المبني باستخدام إحدى طرائق التدعيم ورفع الكفاءة من خلال زيادة مقاومة المبني. حيث أثبتت آلية التدعيم الخارجي باستخدام إطار بيتوني مسبق الصنع مسلح بصفحة فولاذية

(Precast Bolt-connected Steel Plate-reinforced Concrete Frame (PBSPC)) كفاءة في تحسين السلوك الزلزالي للمبني. (Cao et al, 2019)

تهدف طرائق إضافة إطار التدعيم PBSPC إلى رفع الكفاءة الزلزالية للبناء بأكمله ، وتحسين نمط القوة - انتقال للإطار بعد التدعيم ونقل الأحمال المطبقة على المنشأ من الإطار المدعم إلى إطار التدعيم الخارجي.

قام (Takeda et al.) عام 2013 بتقييم أداء مدربتين في ميياجي - اليابان تم تدعيمهما باستخدام إطار بيتوني مسبق الصنع مسلح بصفحة فولاذية PBSPC قبل حدوث زلزال توهوكو 2011، حيث تم فحص هذه المبني بعد الزلزال الذي بلغت شدته 9.0 على مقياس Mw ولم يلاحظ أي

## جبلی، الصحاوی

- 2 تحليل إطار بيتوبي مسلح من مبني إطاري (بدون تدعيم) تحليل ديناميكي لاطحي تحت تأثير ثلاث هزات أرضية مختلفة ودراسة سلوكه الزلالي.
- 3 ربط إطار التدعيم البيتوبي مسبق الصنع المسلح بصفحة فولاذية بإطار المبني بتوضعات مختلفة وإعادة التحليل الديناميكي اللاطحي مع تغير في أماكن تطبيق إطار التدعيم بالنسبة للإطار من المبني، ودراسة الاستجابة الزلالية وتحليل النتائج.

## 2- مشكلة وأهمية البحث:

معظم المبني البيتوبي المسلح التي شيدت قبل اعتماد الكود العربي السوري والملحق رقم (2) تُعد منشآت هيكلية غير مقاومة للأحمال الزلالية، وبالتالي تكون معرضة لأضرار جسيمة عند حدوث زلزال، مع ارتفاع كبير في احتمال الانهيار، مما يسبب أضراراً هائلة. وعند تدعيم إطارات هذه المبني بإضافة شبكات التربيط مباشرة إليها، فإن العقد قد تنهار قبل أوانها نتيجة القوى الكبيرة المنقوله إليها من شبكة التربيط المضافة، إذ لم تُصمم لتحمل هذه الحمولات. بناءً على ذلك، يصبح من الضروري إضافة إطارات خارجية لتحمل القوى المنقوله من شبكات التربيط. وعليه تُعتبر طريقة التدعيم باستخدام إطارات PBSPC من بين أفضل الطرق نظراً لسهولة تطبيقها، حيث يتم استخدام عناصر بيتوبي مسبقة الصنع متوفرة محلياً، مما يتطلب فقط عمليات النقل والتركيب في موقع المنشأ المراد تدعيمه. كما تُفذ جميع أعمال التدعيم خارجياً دون الحاجة لإخلاء المبني أو إيقاف وظيفته، وهذا ما يقدم فوائد اقتصادية كبيرة للمؤسسات الهامة مثل المدارس والمستشفيات التي لا يمكن إيقاف عملياتها. تهدف طرائق إضافة الإطار الخارجي إلى رفع الكفاءة الزلالية للبناء بأكمله وتحسين نمط القوة-الانتقال للمبني.

دراسة الاستجابة الزلالية للمبني البيتوبي المسلح ..... وبالرغم من عدم الاستقرار على الضغط عند حد معين (التحبيب خارج المستوى) لشبكة التربيط، إلا أنها قد حسنت من قدرة التحمل والصلابة الجانبية للهيكل بكامله مما أدى إلى انخفاض كبير في الإزاحة الجانبية.(Cao et al, 2019) وتم تطوير هذه الطريقة من قبل الباحثين (Cao et al.) عام 2020 حيث قام بدراسة تحليلية باستخدام برنامج OpenSees لإطار التدعيم SC-PBSPC BRBF وهو الإطار PBSPC ولكن باستخدام عقد مسبقة الإجهاد مسبقة الصنع وتم استبدال شبكة التربيط مسبقة الصنع بعناصر ممنوعة من التحبيب BRB . تم إجراء الدراسة التحليلية وبارامترية لـ 21 نموذج إطار بيتوبي مسلح مؤلف من 5 طوابق و 3 مجازات، حيث تم تدعيم المجاز الوسطي فقط بإطارات SC-PBSPC BRBF . بشكل عام إضافة إطار التدعيم الخارجي يحسن بوضوح الصلابة الأولية وقدرة التحمل مقارنة بالإطار غير المدعوم، والتغييرات في الصفحة الفولاذية ضمن عنصر ABRB تحسّن قدرة التحمل وتزيد بشكل كبير الصلابة الأولية، واللحقات الهمستيرية مستقرة نوعاً ما. بينما زيادة مقاومة البيتوبي حسنت اللحقات الهمستيرية بشكل طفيف، والكافلات مسبقة الإجهاد قللّت من الانتقالات المتبقية بشكل جيد(Cao et al,2020). لم تتناول الأبحاث السابقة أثر تغيير مكان توضع الإطار مسبق الصنع المسلح بصفحة فولاذية حيث سيتناول هذا البحث توضيعات مختلفة لإطار التدعيم في فتحات إطار المبني.

## 1- منهجة البحث:

- 1 تحقيق السلوك لإطار التدعيم البيتوبي مسبق الصنع المسلح بصفحة فولاذية PBSPC المزود بشبكة تربيط بشكل v مقلوبة من خلال إنشاء نموذج تحليلي باستخدام برنامج العناصر المحدودة ABAQUS و تطبيق برتوکول التحميل (تحكم بالانتقال) (Cao et al,2019) والتحقق من صحة النتائج.

جبلی، الصحاوی

تغطية الوصلات ببيتون مصبوب في المكان لحماية الصفيحة الفولاذية. يتم تصنيع العناصر في المعمل وتنقل إلى الموقع حيث يتم تجميعها لتشكيل إطار التدعيم وربطه بإطار المبني بواسطة براغي التثبيت Anchors ، ويملا الفراغ بين إطار التدعيم وإطار المبني بمونة ربط (Cao et al. 2019) غالباً ما يتم استخدام أساسات جديدة لإطار التدعيم منفصلة عن أساسات المبني القائم، وفي حال إمكانية استخدام أساسات المبني القائم فمن الممكن تدعيمها، ويعتمد ذلك على شروط التربة ونوع الأساسات حيث لكل حالة ظروف محاطية مختلفة. يبين الشكل (1) إطار التدعيم مع نقاط دليل التسليح.

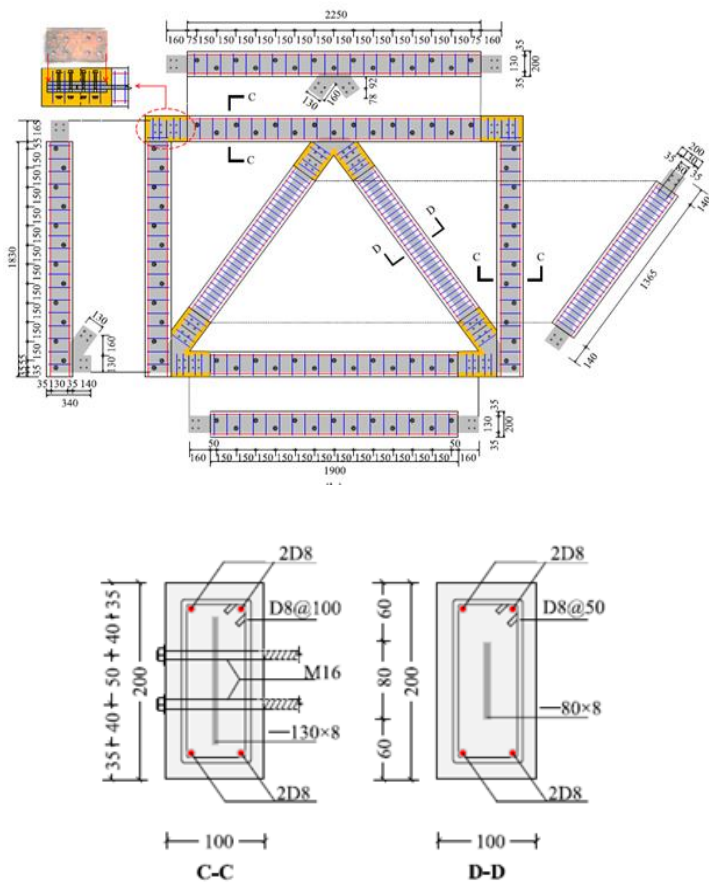
-3 هدف البحث:

رفع الكفاءة الزلزالية للمباني الإطارية القائمة من البيتون  
المسلح باستخدام إطار البيتوني مسبق الصنع المسلح  
بصفحة فولاذية وذلك من خلال تطبيقه على إطار من مبني  
بيتوني مسلح منتظم وفق توضيعات مختلفة لإطار التدعيم.

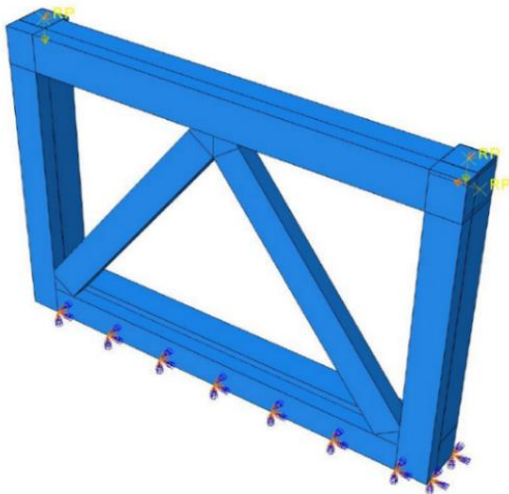
-4 تحقیق سلوک إطار التدعیم:

-1-5 مواصفات الإطار:

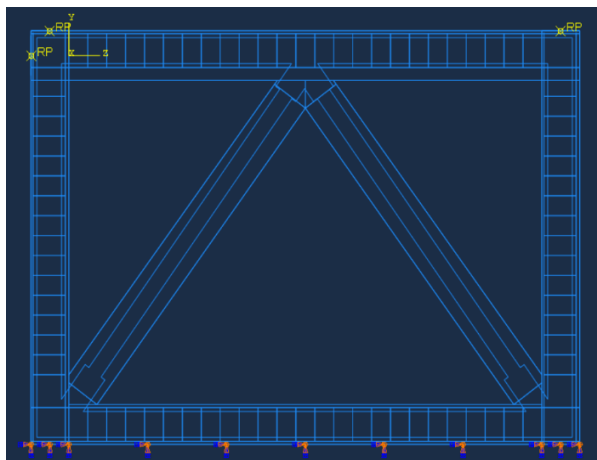
يتألف إطار التدريم (PBSPC) من جائز وأعمدة وشبكة تربط جميعها عناصر بيتونية مسبقة الصنع مسلحة بصفحة فولاذية متعددة على كامل طول العنصر يتم وصل العناصر مسبقة الصنع مع بعضها البعض بواسطة الصفيحة الفولاذية التي تتمتد من نهاية كل عنصر ويتم



الشكل (1) تفاصيل تسلیح إطار التدريم والمقطوع العرضية ضمن العناصر (Cao et al, 2019)



الشكل (a-2) النموذج التحليلي



الشكل (b-2) توضع الصفيحة الفولاذية والتسلیح ضمن إطار التدعیم

الشكل (2) النموذج المدروس ضمن Abaqus

## 5-2- خصائص المواد المستخدمة وسلوكها:

يوضح الجدول (1) خصائص مواد الإطار المدعّم والجدول (2) يبيّن خصائص مواد إطار التدعيم مسبق الصنع المسلح بصفحة فولاذية. ويبيّن الشكل (3) سلوك المواد المستخدمة (البيتون العادي والبيتون مسبق الصنع وفولاذ التسلیح والصفحة الفولاذية).

## 5-3- النمذجة:

تم نمذجة إطار بيتوني مسلح عادي RCF وإطار التدعيم PBSPSC الشكل (a-2)، ويبين الشكل (b-2) توضع الصفيحة الفولاذية للتسلیح ضمن إطار التدعيم.

استُخدمت عناصر حجمية لنمذجة المقاطع البetonية (Solid Elements) و عناصر خطية في نمذجة قضبان التسلیح (Wire Elements) و عناصر مستوية في نمذجة الصفيحة الفولاذية (Shell Elements). تم ربط التسلیح والصفحة الفولاذية مع البيتون مسبق الصنع باستخدام Constraint (Tie) لتشكيل إطار التدعيم البetonي مسبق الصنع ومن ثم تم ربط إطار التدعيم بالإطار باستخدام (Tie).

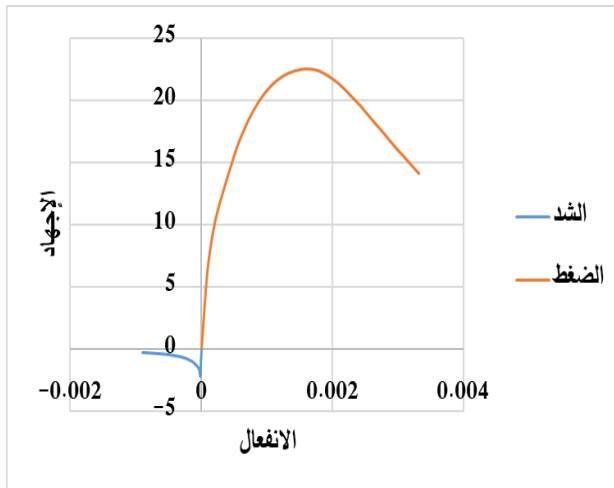
وتم تمثيل استناد الإطارات بشكل وثيقة من الأسفل.

الجدول (1) خصائص مواد الإطار المدعّم

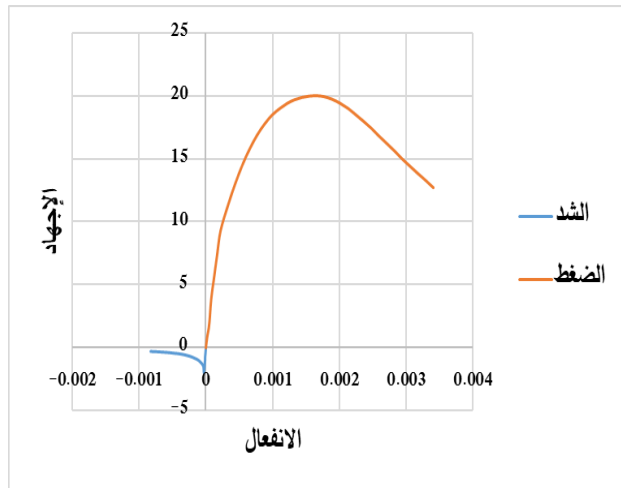
$f'_c = 20 \text{ MPa}$	إجهاد الضغط للبيتون
$E_c = 22000 \text{ MPa}$	معامل المرونة للبيتون
$\nu_{\text{concrete}} = 0.18$	معامل بواسون للبيتون
$\gamma_c = 23 \text{ kN/m}^3$	الوزن الحجمي للبيتون
$F_y = 435 \text{ MPa}$	حد السيلان لفولاذ التسلیح الطولی بقطر 14mm
$F_y = 366 \text{ MPa}$	حد السيلان لفولاذ التسلیح الطولی بقطر 18mm
$F_y = 450 \text{ MPa}$	حد السيلان لفولاذ التسلیح العرضی 8mm
$E_{\text{steel}} = 200000 \text{ MPa}$	معامل المرونة للفولاذ
$\gamma_s = 78 \text{ kN/m}^3$	الوزن الحجمي للفولاذ
$\nu_{\text{steel}} = 0.3$	معامل بواسون للفولاذ

الجدول (2) خصائص مواد إطار التدعيم مسبق الصنع

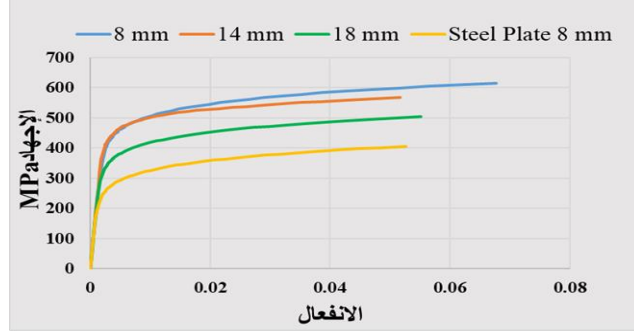
$f'_{pcc} = 22.5 \text{ MPa}$	إجهاد الضغط للبيتون مسبق الصنع
$E_{pcc} = 30400 \text{ MPa}$	معامل المرونة للبيتون
$\nu_{pcc} = 0.18$	معامل بواسون للبيتون
$\gamma_{pcc} = 23 \text{ kN/m}^3$	الوزن الحجمي للبيتون
$F_y = 450 \text{ MPa}$	حد السيلان لفولاذ التسلیح الطولی (الاشتائي) والعرضی 8mm بقطر
$F_{y-plate} = 275 \text{ MPa}$	حد السيلان للصفحة الفولاذية
$E_{\text{steel}} = 196000 \text{ MPa}$	معامل المرونة للتسلیح الطولی والعرضی
$E_{\text{steel}} = 189000 \text{ MPa}$	معامل المرونة للصفحة الفولاذية
$\gamma_s = 78 \text{ kN/m}^3$	الوزن الحجمي للفولاذ
$\nu_{\text{steel}} = 0.3$	معامل بواسون للفولاذ



(b-4) الصنع مسبق البيتون



البيتون العادي (a-4)



#### الشكل (4) سلوك الموارد المستخدمة

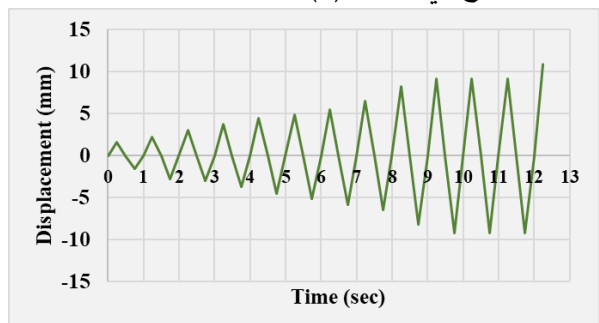
#### الشكل (4) بروتوكول التحميل

-5-5 نتائج التحليل:

بعد إجراء التحليل تبين وجود تقارب واضح في الحلقات الهستيرية بين النموذج التحليلي و التجربة المخبرية بالإضافة إلى التقارب في شكل الإنهاي والموضح في الشكل (5)، كما بينت النتائج والمبنية في الجدول (3)، أن الفرق النسبي بين نتائج الدراسة التحليلية ونتائج التجربة المخبرية لم تتجاوز 13.7%， ويعود سبب هذا الفرق إلى أن بارامترات العلاقة التحليلية لسلوك البيتون التي يجب إدخالها ضمن البرنامج لا

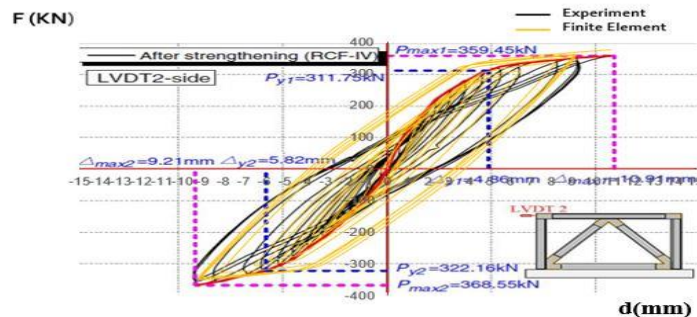
-4-5 الحمولات المطبقة:

تم تطبيق حمولة محورية في كل عمود قيمتها  $200 \text{ kN}$ ، ثم تم تطبيق بروتوكول التحميل (تحكم بالانتقال) عند طرف الجائز موضح في الشكل (4). (Cao et al, 2019).

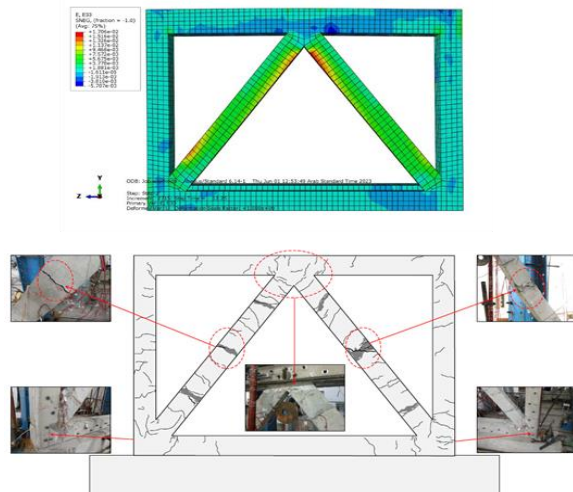


جلي، الصناوي  
لأن التحليل البرمجي يتم باعتبار الظروف مثالية، بينما التجربة المخبرية لا تتم بنفس الظروف المثالية.

دراسة الاستجابة الرّازلية للمبني البيتونية المسلحة .....  
يمكن الحصول عليها تجريبياً، بالإضافة إلى أن الظروف المخبرية تعتبر سبب رئيسي لوجود هذا الفرق البسيط، وذلك



الشكل (a-5) مقارنة الحلقات الهستيرية للنموذج والتجربة

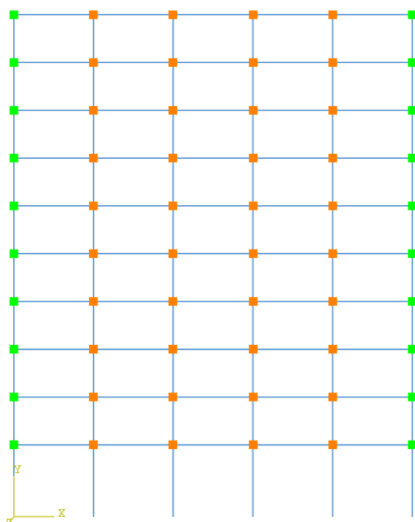


الشكل (b-5) مقارنة شكل الانهيار بين التجربة المخبرية (Cao et al, 2019) والنموذج التحليلي، الشكل (5) نتائج التحليل والتحقق من السلوك

الجدول (3) النتائج التجريبية والناتج التحليلي والفرق النسبي بينهما

**6 دراسة سلوك إطار المبني:**  
**6-1- توصيف المبني وإطار التدعيم:**  
المبني عبارة عن مبني إطاري افتراضي منتظم من البيرتون المسلح مؤلف من 10 طوابق، يبين الشكل (6) المسقط الأفقي للطابق المتكرر حيث تم اعتماد الإطار الذي يقع على المحور 1-1 في الدراسة، والمؤلف من 5 مجارات. يوضح الجدول (1) خصائص المواد المستخدمة للمبني المدروس، أما بالنسبة لأبعاد المقاطع العرضية لعناصر الإطار البيرتوني المسلح فإن المقطع العرضي للأعمدة 50×50 cm في الطابق الثالث الأولى ، 40×40 cm في الطوابق من الرابع وحتى السابع، 30×40 cm في الطابق

Cyclic load D (mm)	F <sub>exp</sub> (kN)	F <sub>FE</sub> (kN)	$\frac{F_{exp} - F_{FE}}{F_{exp}}$
10.91	359.45	374.54	-4.2%
9	348	361.056	-3.75%
8	345	332.846	3.5%
6.5	335	309.365	7.65%
5	280	282.153	-0.77%
4	275	273.339	0.06%
3	220	232.081	-5.5%
2	200	172.703	13.6%
1	110.3	108.722	1.43%
-1	-100	-102.391	-2.4%
-2	-154	-149.197	3.12%
-3	-215	-185.605	13.7%
-4	-250	-234.43	6.22%
-5	-300	-273.562	8.8%
-6.5	-340	-303.426	10.75%
-8	-350	-326.523	6.7%
-9	-355	-340.65	4.04%

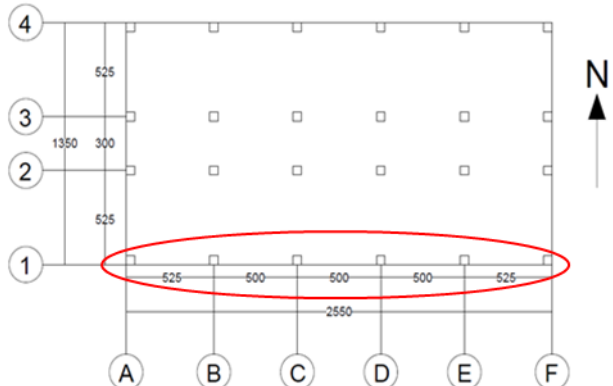


### الشكل (7) إطار الدراسة بدون التدريم

-3- توضيعات إطار التدعيم بالنسبة لإطار المبني:  
تم ربط إطار التدعيم البيتونى مسبق الصنع المسلح بصفائح  
فولاذية بإطار المبني بتوضيعات مختلفة موضحة في الشكل  
(8) وفق ما يلى:

- .1 تدعيم الفتحات الطرفية فقط، الشكل (a-8)
  - .2 تدعيم الفتحات الطرفية والوسطية، الشكل (b-8)
  - .3 تدعيم بشكل هرمي، الشكل (c-8)
  - .4 تدعيم بشكل متدرج، الشكل (d-8)

دراسة الاستجابة الزلزالية للمبني البيتونية المسلحة .....  
 الثلاث الأخيرة. الجوانز ساقطة بأبعاد cm  $50 \times 30$ . يتالف  
 إطار التدعيم البيتوني مسبق الصنع المسلح بصفحة فولاذية  
 من جائز وأعمدة وشبكة تربط بشكل V مقلوبة، والمقاطع  
 العرضية لهذه العناصر جميعها cm  $20 \times 20$ . ويوضح  
 الجدول (2) خصائص مواد إطار التدعيم .



الشكل (6) المسقط الأفقي للمبني المدروس

-2-6

تم نمذجة الإطار البيتوبي المسلح باستخدام برنامج العناصر المحدودة ABAQUS ضمن مستوى شائي البعدين XY، حيث تم نمذجة الأعمدة والجوازات باستخدام العنصر الخطى Wire وتم تمثيل الحمولة المنقلة من البلاطات بشكل كتى mass ضمن العقد والموضحة في الشكل (7).

تم نمذجة إطار التدعيم البيتوبي مسبق الصنع ضمن برنامج ABAQUS بشكل مماثل لإطار المبني، حيث تم استخدام العنصر الخطي Wire لنمذجة الأعمدة والجواز وشبكة التربيط، فيما أن ثبيت إطار التدعيم بإطار المبني يتم باستخدام براغي ثبيت Anchors بحيث تملك الصلابة والمقاومة الكافية لتبقى مرنة وبعدد كافي يضمن عدم حدوث قص في البراغي أو انزياح نسبي بين الإطارات تم تمثيل الارتباط بينهما ارتباطاً تماماً وتم تمثيل ارتباط الإطارات بالأساسات ارتباطاً وثيقاً.

No	Earthquake name	Station Name	Earthquake Magnitude	PGA-E (g)
1	Imperial Valley 1940	El Centro Array	7	0.281-
2	Kobe. (Japan) 1995	Nishi-Akashi	6.9	0.483-
3	Tabas. (Iran) 1978	Dayhook	7.4	0.323

### 5-6 نتائج التحليل:

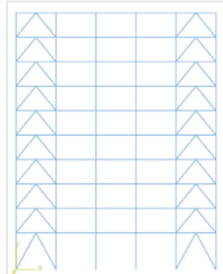
#### 5-6-1 إطار المبني قبل التدعيم:

تم تحليل إطار المبني تحت تأثير الهزات الأرضية الثلاث الموضحة في الجدول (4)

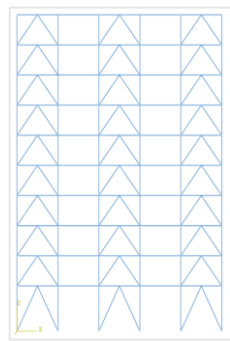
الاستجابة الزلالية للإطار بدون التدعيم موضحة في الأشكال (a-9)، (b-9)، (c-9) والتي تبين التسجيلات الزمنية لقوى القص القاعدي، التسارعات أعلى الإطارات والانتقالات أعلى الإطارات على التوالي، كما يبين الشكل (d-9) الإزاحات الطابقية الأعظمية، وفي الجدول (5) القيم الأعظمية للاستجابة الزلالية للإطار المبني قبل التدعيم تحت تأثير الهزات الأرضية الثلاث.

نلاحظ من الجدول (5) والشكل (d-9) أن زلزال Kobe أعطى نتائج أعظمية مقارنة بزلزال Imperial Valley و زلزال Tabas.

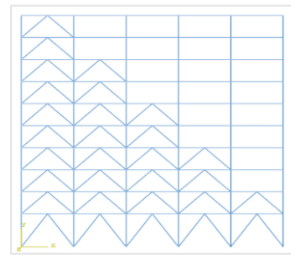
الجدول (5) القيم الأعظمية للاستجابة الزلالية للإطار قبل التدعيم



(b-8)



(a-8)



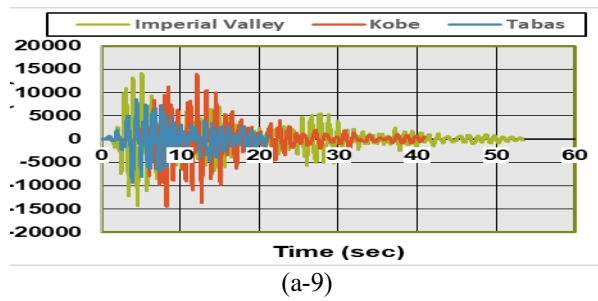
الشكل (8) توزيعات إطار التدعيم بالنسبة لإطار المبني:  
(a-8) تدعيم الفتحات الطرفية فقط ، (b-8) تدعيم الفتحات الطرفية والوسطية، (c-8) تدعيم بشكل هرمي ، (d-8) تدعيم بمدرج متدرج

#### 6-4 الحمولات المطبقة:

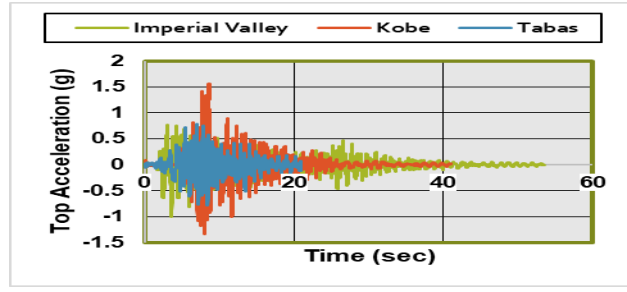
تم إجراء تحليل ديناميكي لاطي باستخدام ثلاث هزات أرضية مختلفة، موضحة في الجدول (4)، حيث تم تطبيق الهزات على إطار المبني قبل التدعيم، ثم إعادة التحليل بعد التدعيم في التوزيعات المختلفة للإطار.

الجدول (4) الهزات الأرضية المستخدمة في التحليل الديناميكي لاطي

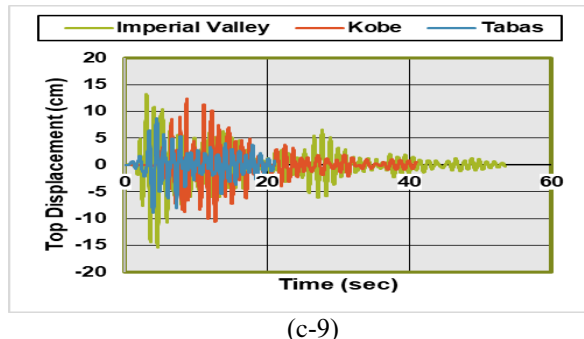
	Imperial Valley	Kobe	Tabas
Max Base Shear (kN)	14384.43	14444.5	9311.37
Max Top Acceleration (g)	1.005	1.556	0.785
Max Displacement (cm)	15.43	12.37	8.94



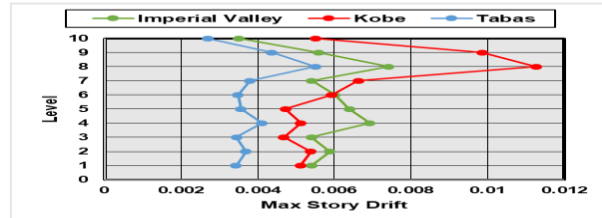
(a-9)



(b-9)



(c-9)



(d-9)

الشكل (8) استجابة الإطار بدون تدعيم تحت تأثير الهزات الأرضية الثلاث: (9-a) قوى القص القاعدي، (9-b) التسارعات أعلى الإطار، (9-c) الانتقالات أعلى الإطار، (9-d) الإزاحات الطابقية الأعظمية

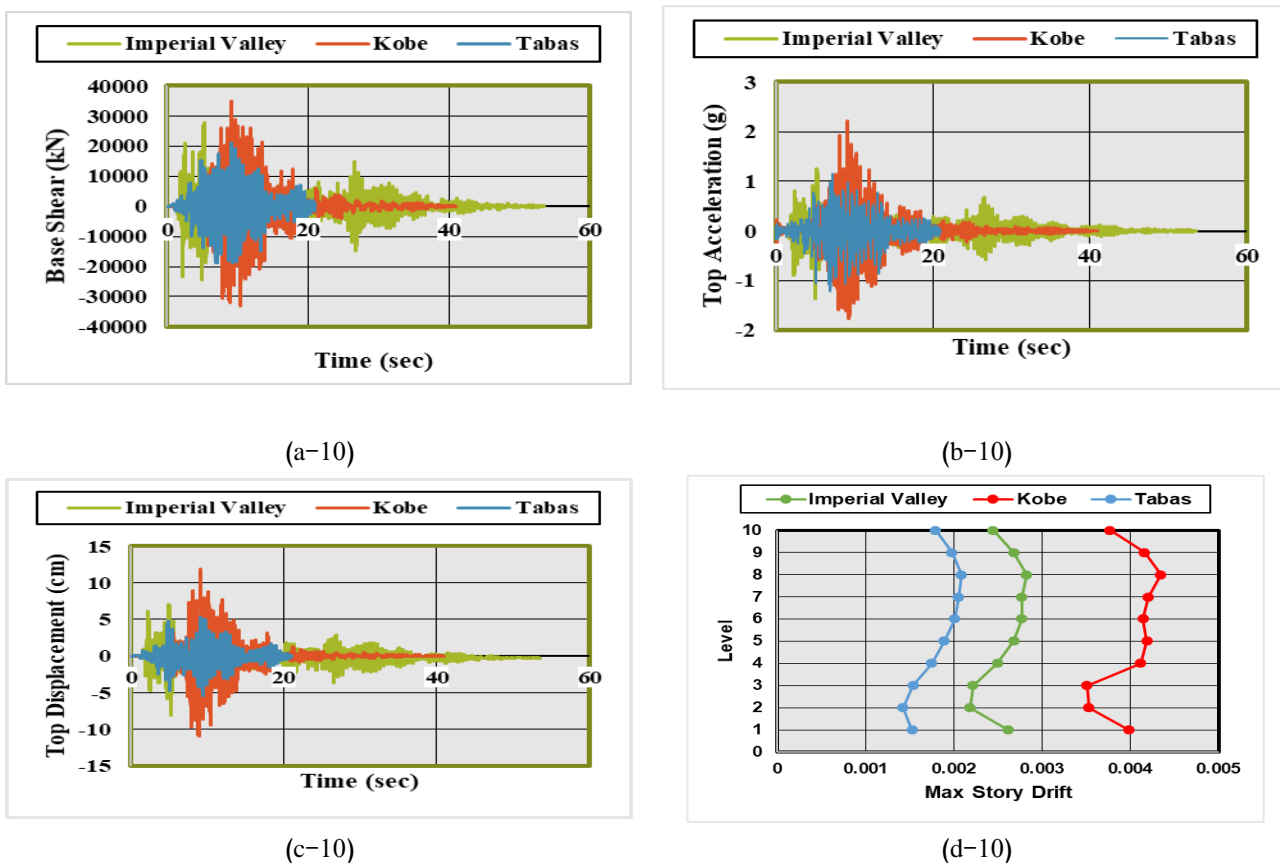
(d-10) أن زلزال Kobe أعطى نتائج أعظمية مقارنة بزلزال Tabas و زلزال Imperial Valley

2-5-6-2-5-6-1-إطار المبني مع التدعيم بتوضيعات مختلفة:

تبين الأشكال ((a<sub>9</sub>-10),(b<sub>9</sub>-10),(c<sub>9</sub>-10)) التسجيلات الزمنية لقوى القص القاعدي والتسارعات أعلى الإطار والانتقالات أعلى الإطار على التوالي، كما يبين الشكل (d-10) الإزاحات الطابقية الأعظمية، و الجدول (6) يبين القيم الأعظمية للاستجابة الزلزالية لإطار المبني مع تدعيم الفتحات الطرفية فقط. نلاحظ من الجدول (6) والشكل

الجدول (6) القيم الاعظمية للاستجابة الزلزالية للإطار مع تدعيم الفتحات الطرفية فقط

	Imperial Valley	Kobe	Tabas
Max Base Shear (kN)	27991.66	35096.68	20952.79
Max Top Acceleration (g)	1.362	2.21	1.226
Max Displacement (cm)	8.08	11.84	5.39



الشكل (10) استجابة الإطار مع تدعيم الفتحات الطرفية تحت تأثير الهزات الأرضية الثلاث : (a-10) قوى القص القاعدي، (b-10) التسارات أعلى الإطار، (c-10) الانتقالات أعلى الإطار، (d-10) الإزاحات الطابقية العظمى

تبين الأشكال ((a<sub>0</sub>-11)، (b<sub>0</sub>-11)، (c<sub>0</sub>-11)) التسجيلات الزمنية لقوى القص القاعدي والتسارات أعلى الإطار

## 6-5-2-2-6- الإطار مع تدعيم الفتحات الطرفية والوسطية:

جبلی، الصحاوی

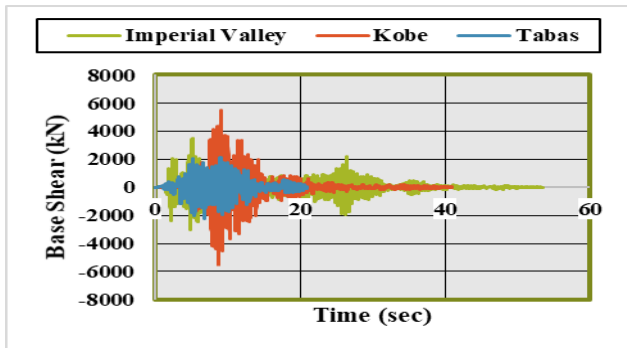
الجدول (7) القيم الإعظمية للاستجابة الزلالية للإطار مع تدعيم الفتحات الطرفية والوسطية

	Imperial Valley	Kobe	Tabas
Max Base Shear (kN)	34318.52	54061.05	21688.24
Max Top Acceleration (g)	1.209	2.799	1.1337
Max Displacement (cm)	6.28	10.21	3.85

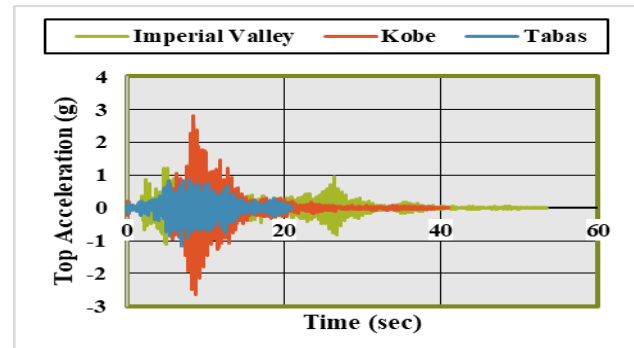
دراسة الاستجابة الزلالية للمبني البيتونية المسلحة

والانقلالات أعلى الإطار على التوازي، كما يبين الشكل (d-11) الإزاحات الطابقية الأعظمية، و الجدول (7) يبين القيم الأعظمية للاستجابة الزلالية لإطار المبني مع تدعيم الفتحات الطرفية والوسطية.

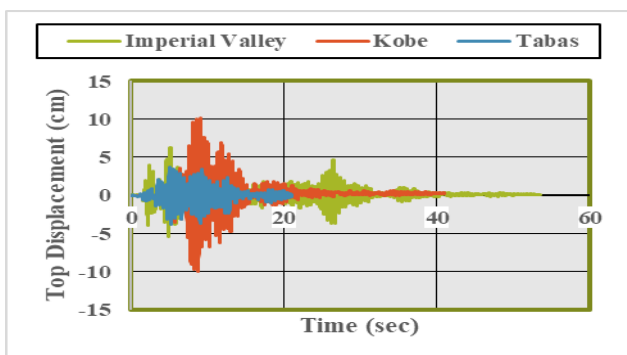
حيث نلاحظ من الجدول (7) والشكل (d-11) أن زلزال Kobe أعطى نتائج أعظمية مقارنة بزلزال Imperial و زلزال Tabas Valley



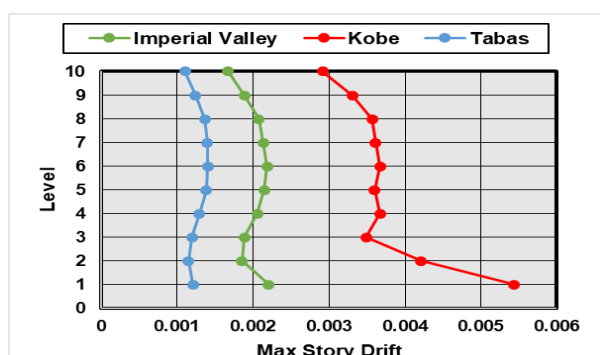
(c-11)



(d-11)



(a-11)



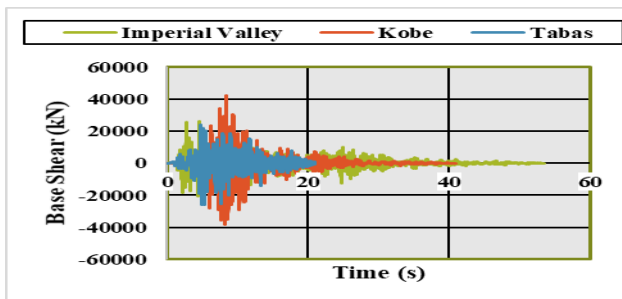
(b-11)

الشكل (11) استجابة الإطار مع تدعيم الفتحات الطرفية والوسطية تحت تأثير الهزات الأرضية الثلاث: (a-11) قوى القص القاعدي، (b-11) الانقلالات أعلى الإطار، (c-11) الإزاحات الطابقية العظمى

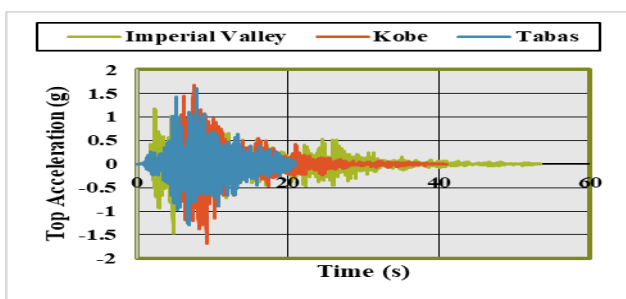
نتائج تحليلات الإطار مع تدعيم بشكل هرمي:

دراسة الاستجابة الزلزالية للمبني البيتونية المسلحة ..... جبلي، الصحاوي  
 تبين الأشكال ((a<sub>i</sub>-12)، (b<sub>i</sub>-12)، (c<sub>i</sub>-12)) التسجيلات الزمنية لقوى القص القاعدي والتسارعات أعلى الإطار والانتقالات أعلى الإطار على التوالي، كما يبين الشكل (12-d) الإزاحات الطابقية الأعظمية، و الجدول (8) يبين القيم الأعظمية للاستجابة الزلزالية لإطار المبني مع تدعيم بشكل هرمي.  
 حيث نلاحظ من الجدول (8) والشكل (12-d) أن زلزال Kobe أعطى نتائج أعظمية مقارنة بزلزال Imperial Valley و زلزال Tabas  
 الجدول (8) القيم الأعظمية للاستجابة الزلزالية للإطار مع تدعيم

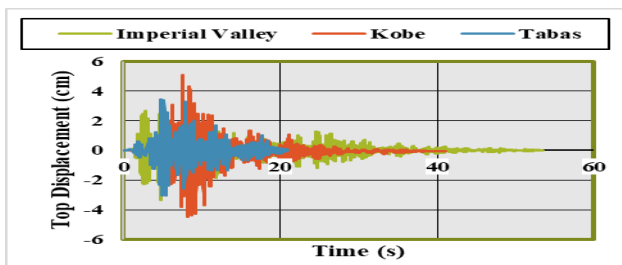
	Imperial Valley	Kobe	Tabas
Max Base Shear (kN)	26019.7	42504.3	26179.18
Max Top Acceleration (g)	1.447	1.68	1.613
Max Displacement (cm)	3.37	5.097	3.42



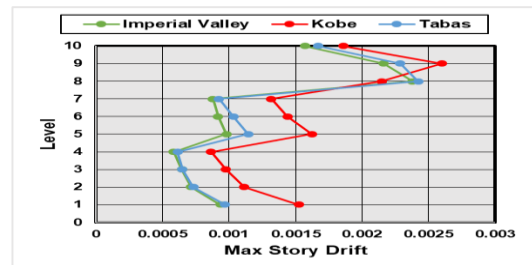
(a-12)



(b-12)



(c-12)



(d-12)

الشكل (12) استجابة الإطار مع تدريم بشكل هرمي تحت تأثير المطارات الأرضية الثلاث: (a-12) قوى القص القاعدي، (b-12) التسارعات أعلى الإطار، (c-12) الانتقالات أعلى الإطار، (d-12) الإزاحات الطابقية العظمى

جبلی، الصحاوی

الجدول (9) القيم الأعظمية للاستجابة الزلالية للإطار مع تدعيم  
بشكل متدرج

	Imperial Valley	Kobe	Tabas
Max Base Shear (kN)	28431.2	46292.5	26155
Max Top Acceleration (g)	1.326	1.884	1.467
Max Displacement (cm)	3.92	6.039	3.75

دراسة الاستجابة الزلالية للمبني البيتونية المسلحة.....

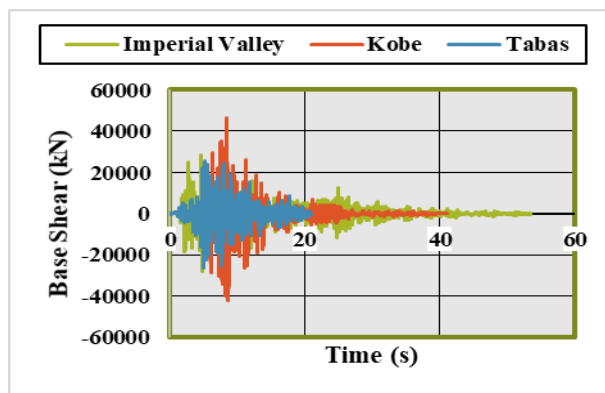
#### 6-5-2-4- نتائج تحليات الإطار مع تدعيم بشكل متدرج

متدرج:

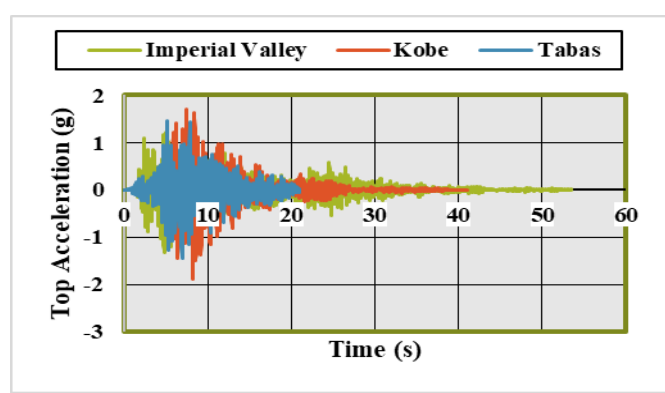
تبين الأشكال ((a-13)،(b-13)،(c-13)) التسجيلات  
الزمنية لقوى القص القاعدي والتسارعات أعلى الإطار  
والانتقالات أعلى الإطار على التوالي.

يبين الشكل (d-13) الإزاحات الطابقية الأعظمية، و  
الجدول (9) يبين القيم الأعظمية للاستجابة الزلالية لإطار  
المبني مع تدعيم بشكل متدرج.

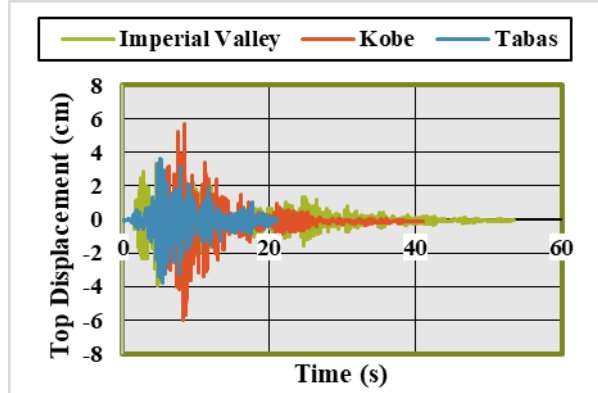
حيث نلاحظ من الجدول (9) والشكل (d-13) أن زلزال  
Imperial Kobe أعطى نتائج أعظمية مقارنة بزلزال  
Tabas Valley و زلزال Valley



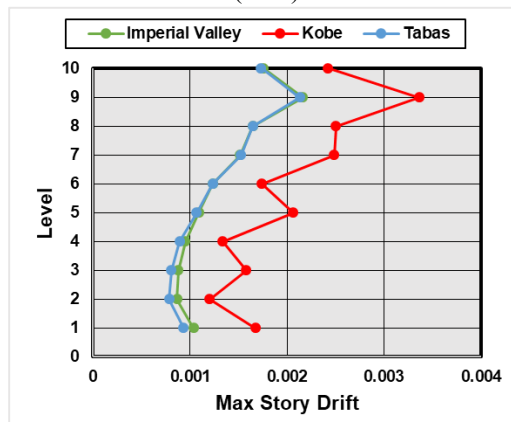
(a-13)



(b-13)



(c-13)



(d-13)

الشكل (13) استجابة الإطار مع تدعيم بشكل متدرج تحت تأثير الهزات الأرضية الثلاث: (a-13) قوى القص القاعدي، (b-13) التسارعات أعلى الإطار،  
(c-13) الانتقالات أعلى الإطار، (d-13) الإزاحات الطابقية العظمى

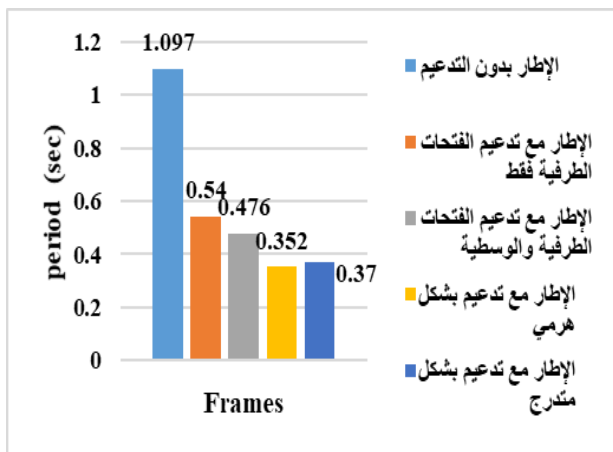
-6-6 مناقشة النتائج:

## جبلی، الصحاوی

بدون التدعيم، لكن طريقة التدعيم بشكل هرمي أعطت أقل قيمة لزيادة التسارعات التي حصلت بعد التدعيم بنسبة .%7.99.

- ازدادت قوى القص القاعدي بعد التدعيم بكافة التوضعات وذلك بسبب زيادة الوزن بعد إضافة إطار التدعيم إلى إطار المبني. مبين في الشكل (c-15) القيم الأعظمية لقوى القص القاعدي.

- انخفضت الإزاحات الطابقية الأعظمية في كافة الطوابق بعد استخدام التدعيم بكافة الأشكال كما هو موضح في الشكل (d-15)، لكن أظهرت طريقة التدعيم بشكل هرمي أفضل النتائج وفي كافة الطوابق.



الشكل (14) أدوار الإطارات

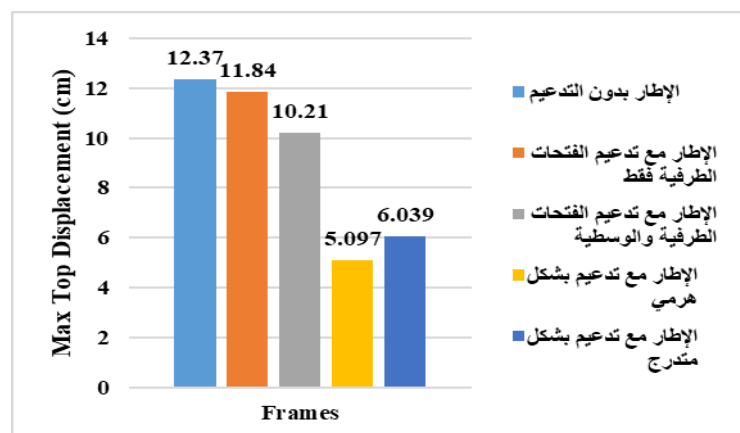
## دراسة الاستجابة الرّازلية للمبني البيتواني المسلح

نلاحظ من النتائج السابقة أن زلزال Kobe أعطى قيمةً أعظمية وعليه تمت المقارنة بين نتائج تحليلات الإطارات المدعمة بالإطار البيتوبي مسبق الصنع المسلح بصفحة فولاذية بكافة التوضعات تحت تأثير زلزال Kobe، لنتمكن من الحصول على أفضل طريقة لتدعيم إطار المبني.

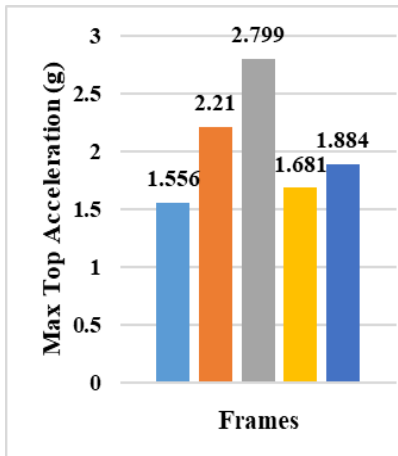
- نلاحظ من الشكل (14) الذي يبين أدوار الإطارات أن دور الإطار انخفض في كافة التوضعات عنه قبل التدعيم حيث انخفض دور الإطار قبل التدعيم من sec 1.097 إلى sec 0.352 عند استخدام طريقة التدعيم بشكل هرمي بنسبة %67.91، أما التدعيم بشكل متدرج أدى إلى انخفاض الدور بنسبة %66.27، وفي حالة تدعيم الفتحات الطرفية والوسطية معاً كانت نسبة انخفاض الدور %56.61، وانخفض الدور بنسبة %50.77 عند تدعيم الفتحات الطرفية فقط.

- يبين الشكل (a-15) الانتقالات الأعظمية أعلى الإطار للتوضعات الأربع مقارنة بالإطار بدون التدعيم، أن الانتقالات انخفضت في كافة أشكال التدعيم عنها قبل التدعيم، حيث أعطى الإطار المدعم بشكل هرمي نتيجة أفضل مقارنة بالتوضعات الأخرى، انخفض الانتقال بنسبة 58.75% في حالة التدعيم بشكل هرمي عنه في الإطار قبل التدعيم، بينما طريقة تدعيم الفتحات الطرفية فقط أدت لانخفاض الانتقال أعلى الإطار بنسبة 4.14% فقط، وكذلك بالنسبة لطريقة تدعيم الفتحات الطرفية والوسطية معاً حيث انخفضت بنسبة 17.41%， أما طريقة التدعيم بشكل متدرج أدت لانخفاض بنسبة .51.13%.

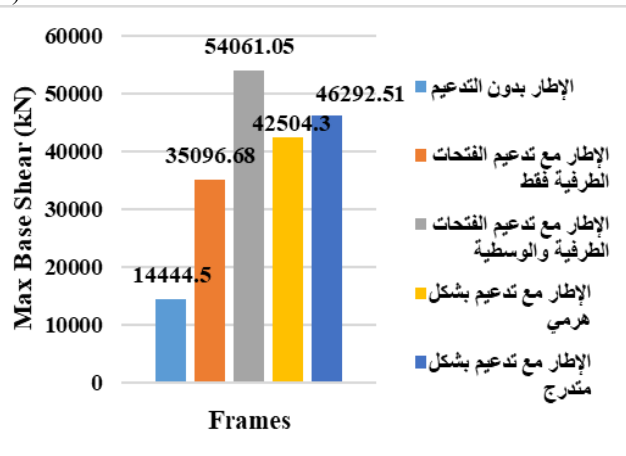
- بالنسبة للتسارعات الأعظمية أعلى الإطار الشكل (b)، فإنها ازدادت في كافة التوضعات مقارنة بها للإطار



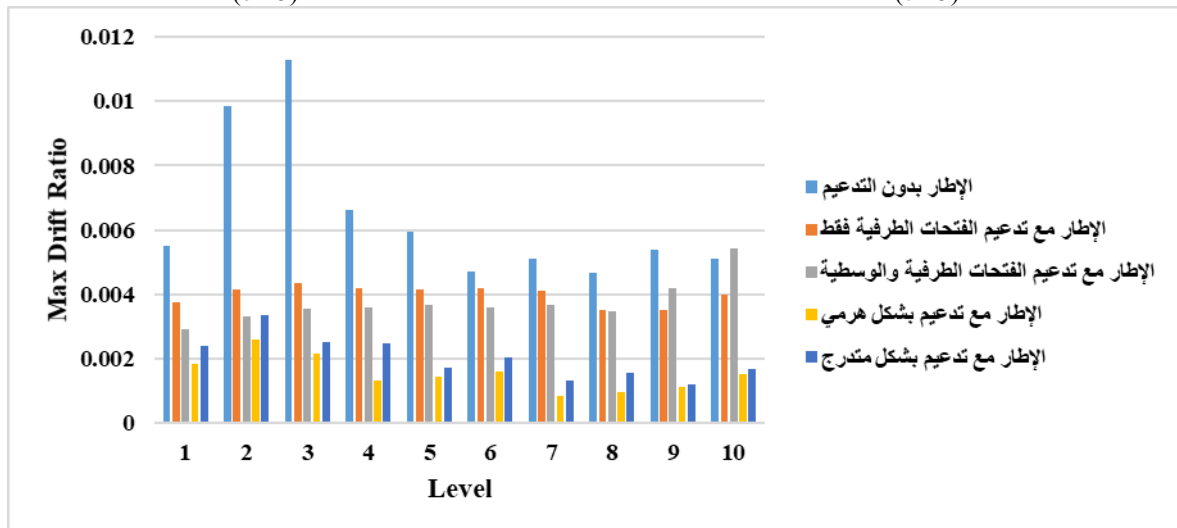
(a-15)



(b-15)



(c-15)



(d-15)

الشكل (15) مقارنة نتائج الاستجابة الزلزالية للإطارات تحت تأثير زلزال Kobe : (a) الانتقالات الأعظمية أعلى الإطار، (b) التسارعات الأعظمية أعلى الإطارات ، (c) قوى القص القاعدي الأعظمية ، (d) الإزاحات الطابقية الأعظمية

## 7- الاستنتاجات:

- (2) دراسة سلوك الصفيحة الفولاذية ضمن الإطار مسبق الصنع وتغيير البارامترات المتعلقة بها (سماكتها- عرضها)
- (3) دراسة سلوك براغي التثبيت Anchors المستخدمة لربط إطار التدعيم مسبق الصنع بإطار المبني بشكل مفصل.

**التمويل:** هذا البحث ممول من جامعة دمشق وفق رقم التمويل (501100020595).

(1) استخدام الإطارات مسبقة الصنع المسلحة بصفحة فولاذية PBSPC في التدعيم الخارجي للمبني الإطارية يحسن بشكل كبير من الأداء الزلزالي مما يقلل من الأضرار المحتملة أثناء حدوث الزلزال .

(2) إن أكبر قيم للاستجابة الزلزالية كانت بتطبيق زلزال Kobe حيث أعطى قيماً أعظمية مقارنة بكل من زلزال Imperial Valley وزلزال Tabas.

(3) تحسنت الاستجابة الزلزالية للإطار باستخدام جميع أشكال التدعيم المقترحة (تدعم الفتحات الطرفية فقط، تدعيم الفتحات الطرفية والوسطية، تدعيم بشكل هرمي، تدعيم بشكل متدرج)، حيث انخفض الانتقال الجانبي أعلى الإطار بنسبة تتراوح بين (4.28% - 58.8%)، وزاد التسارع أعلى الإطار بنسبة تتراوح بين (79.88% - 80.03%)، وازدادت قوى القص القاعدي بنسبة تتراوح بين (142.79% - 274.25%)، بينما انخفض الدور بنسبة تتراوح بين (50.77% - 67.91%).

(4) إن التدعيم بشكل هرمي أعطى أفضل النتائج مقارنة بالتوضعات الأخرى، حيث انخفض الانتقال الجانبي أعلى الإطار بنسبة 58.8%， وزداد التسارع أعلى الإطار بنسبة 8.03%， كما ازدادت قوى القص القاعدي بنسبة 194.25%. أما بالنسبة للإراحات الجانبية أعطت طريقة التدعيم بشكل هرمي أكبر قيم للفرق النسبي وفي جميع الطوابق، بنسن تتراوح بين 65.69% في الطابق الخامس و 83.11% في الطابق الرابع، كما انخفض الدور بنسبة 67.91%.

## 8- التوصيات والأعمال المستقبلية:

- (1) دراسة موضوع التدعيم بشكل جزئي ضمن المبني لتحديد عدد الطوابق التي يكون الإطار فعال فيها (على كامل ارتفاع المبني أو ضمن طوابق محددة) وارتفاع المبني (منخفضة الارتفاع والعالية)

## 9-References:

- [1] Cao XY, Wu G, Feng DC, Zu XJ (2019). Experimental and Numerical Study of Outside Strengthening with Precast Bolt-Connected Steel-Plate Reinforced Concrete Frame-Brace. Journal of Performance of Constructed Facilities; 33(6): 04019077.
- [2] Cao XY, Wu G, Feng DC, Wang Z & Cui HR (2020). Research on the Seismic Retrofitting Performance of RC Frames Using SC-PBSPC BRBF Substructures. Earthquake Engineering & Structural Dynamics.
- [3] NourEldin M, Naeem Asad, Kim Jinkoo (2019). Seismic retrofit of a structure using self-centering precast concrete frames with enlarged beam ends. Magazine of Concrete Research ISSN 0024-9831 | E-ISSN 1751-763X Volume 72 Issue 22, November, 2020, pp. 1155-1170.
- [4] NourEldin M, Dereje A J, Kim Jinkoo (2019). Seismic retrofit of RC buildings using self-centering PC frames with friction dampers. Engineering Structures Volume 208, 1 April 2020, 109925.
- [5] Takeda K, Tanaka K, Someya T, Sakuda A & Ohno Y (Summer 2013). Seismic retrofit of reinforced concrete buildings in Japan using external precast pre-stressed concrete frames. PCI Journal | summer 2013.